

Сравнение различных методов декодирования q -ных кодов по максимуму апостериорных вероятностей

Браславский И.А.
ИППИ РАН
braslavskii@phystech.edu

Фролов А.А.
ИППИ РАН
alexey.frolov@iitp.ru

Аннотация

В работе рассмотрены и описаны различные методы декодирования кодов с проверкой на четность над полем $GF(q)$. Представлены результаты моделирования алгоритмов при передаче кодового слова по каналу с аддитивным белым гауссовским шумом.

$$G = \begin{pmatrix} 1 & \dots & 0 & \alpha_i \\ \vdots & \ddots & \vdots & \vdots \\ 0 & \dots & 1 & \alpha_n \end{pmatrix} \quad (1)$$

Найдем \mathbf{v} :

$$\mathbf{u}G = \mathbf{v} = (C_1, C_2 \dots C_k, \sum_{i=1}^k \alpha_i C_i) \quad (2)$$

1. Введение

Мотивацией к написанию было упрощение декодирования недвоичных МПП-кодов. Декодирование кодов с проверкой на четность над полем $GF(q)$ является наиболее сложной частью декодера МПП-кодов, поэтому данная работа посвящена сравнению различных алгоритмов декодирования таких кодов.

2. Описание кодовой конструкции

Рассмотрим случай, когда сообщение состоит из k информационных символов и 1 проверочного. Пусть для информационного вектора $\mathbf{u} = (C_1, C_2 \dots C_k)$, где $C_i \in GF(q)$, проверочный символ строится как линейная комбинация C_i :

$$C_n = \sum_{i=1}^k \alpha_i C_i$$

где $\alpha_i \in GF(q)$.

Пусть $q = 2^r$, тогда используя свойство конечных полей характеристики 2:

$$\beta \in GF(2^n) \Rightarrow \beta + \beta = 0,$$

получим тождество:

$$\sum_{i=1}^n \alpha_i C_i = 0$$

Для того, чтобы из вектора \mathbf{u} получить кодовый вектор, можно домножить его на порождающую матрицу G , где

Проверочная матрица H будет иметь вид:

$$H = \begin{pmatrix} \alpha_1 & \alpha_2 & \dots & \alpha_k & \alpha_n \end{pmatrix} \quad (3)$$

Рассмотрим ситуацию наличия помех, создающих одиночную ошибку. Тогда принимающая сторона вместо кодового вектора \mathbf{v} получит искаженный вектор \mathbf{h} . Вектор можно представить в виде суммы $\mathbf{v} + \mathbf{e}$, где \mathbf{e} - это вектор ошибки. Домножим \mathbf{h} на H^T :

$$\mathbf{h}H^T = (\mathbf{v} + \mathbf{e})H^T = \mathbf{e}H^T \quad (4)$$

Данный код способен обнаружить 1 одиночную ошибку, но не исправить ее, так как, хоть нам и известно значение ошибки, мы не можем определить номер искаженного символа.

3. Описание канала

Для передачи данных нам удобно будет пользоваться 8-ичной фазовой манипуляцией (8psk).

Рассмотрим случай канала с аддитивным белым гауссовским шумом (AWGN), тогда каждому передаваемому символу x_i можно поставить в соответствие \mathbf{s}_i - точку на фазовой диаграмме, а каждому полученному символу y_0 - точку $(\mathbf{s}_0 + \mathbf{n})$, которая в процессе передачи переходит в точку $(\mathbf{s}_i + \mathbf{n})$. Где аддитивный шум \mathbf{n} подчиняется Гауссовской функции распределения вероятности с плотностью:

$$p(x) = \frac{1}{\sqrt{2\pi\sigma^2}} \exp \frac{-(-x-\mu)^2}{2\sigma^2}, \mu = 0, \sigma^2 = \frac{N_0}{2} \quad (5)$$

где N_0 - спектральная плотность шума.

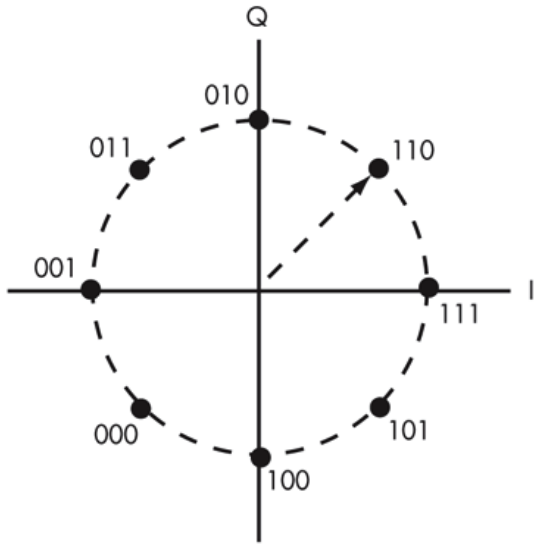


Рис. 1. фазовая диаграмма 8psk

Тогда условная вероятность полученного символа y_i при данном переданном x_0 :

$$p(y_i|x_i) = \frac{1}{\sqrt{\pi N_0}} \exp \frac{-r_i^2}{N_0} \quad (6)$$

где $\mathbf{r}_i = (\mathbf{s}_0 + \mathbf{n} - \mathbf{s}_i)$

Пронормируем вероятности:

$$Pr(y_i|x_i) = \frac{\frac{1}{\sqrt{\pi N_0}} \exp \frac{-r_i^2}{N_0}}{\sum_{j=1}^8 \frac{1}{\sqrt{\pi N_0}} \exp \frac{-r_j^2}{N_0}} = \frac{\exp \frac{-r_i^2}{N_0}}{\sum_{j=1}^8 \exp \frac{-r_j^2}{N_0}} \quad (7)$$

Проделав эту операцию для каждого из 7 полученных символов кодового слова, мы получим матрицу условных вероятностей:

$$W = \begin{pmatrix} Pr(y_1|x_1) & \dots & Pr(y_7|x_1) \\ \vdots & \ddots & \vdots \\ Pr(y_1|x_8) & \dots & Pr(y_7|x_8) \end{pmatrix} \quad (8)$$

4. Алгоритм построения решетки

Решетка - это ориентированный граф с периодической повторяющейся структурой узлов (ячеек). Узлы собраны в группы, проиндексированные параметром глубины k . Ребра проведены между двумя определенными парами узлов на глубине k и на глубине $k+1$. Направления ребер следуют от узлов на k глубине к узлам $k+1$. Каждый узел на глубине k определен вектором длины $n-k$ над полем $GF(q)$. Назовем его $s_i(k)$. Решетка является методом компактной записи всех q^k кодовых слов. Каждое отдельное кодовое слово соответствует своему пути в решетке.

Опишем алгоритм построения путей:

- 1) На глубине $k=0$ решетка будет содержать только один узел - нулевой кортеж. Назовем его $S_0(0)$.
- 2) Для каждого $k=0, 1, \dots, (n-1)$ узел строится рекурсивно по формуле:

$$S_j(k+1) = S_i(k) + \beta_j \bullet h_{k+1} \quad (9)$$

где $j=0, 1, \dots, (q-1)$, $\beta_j \in GF(q)$

- 3) Удаляются все узлы, не приводящие к нулевому состоянию на глубине n .

Для $k=0$ существует только одно состояние узла решетки: $S_0(0)$. Для $k=1$ существует q состояний, а именно: $\beta_j(\mathbf{h}_1)$, $j=0, 1, \dots, (q-1)$. Для произвольной глубины $1 \leq k \leq n$ у нас будут состояния $\beta_{j_1}(\mathbf{h}_1) + \beta_{j_2}(\mathbf{h}_2) + \dots + \beta_{j_k}(\mathbf{h}_k)$. Где '+' - это оператор сложения для векторов с компонентами из $GF(q)$.

Число состояний на любой глубине не может превышать q^{n-k} , числа различных $(n-k)$ кортежей с элементами из $GF(q)$.

Рассмотрим линейный код (??) с $n=7$ и $q=8$. Подставляя элементы в рекурсивную формулу (??), а затем удаляя все ненулевые элементы на глубине n , мы получим решетку, в которой каждый узел на глубине k соединен с каждым узлом на глубине $k+1$

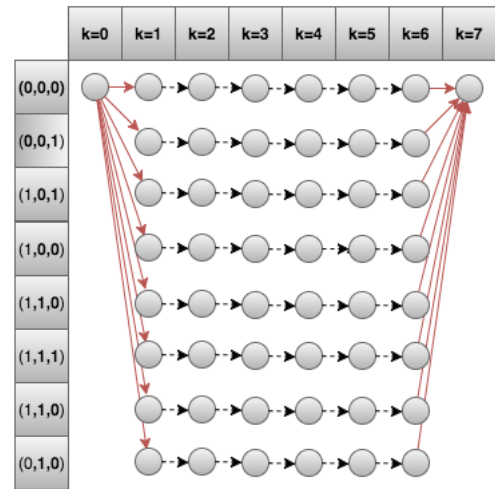


Рис. 2. решетка для кода (??) с $n=7$ и $q=8$

Отметим, что для декодирования нет необходимости вычеркивать нежелательные места узлов в решетке.

5. Алгоритм Витерби

Пусть на вход декодера нам поступает матрица (??), тогда функция максимального правдоподобия

для кодового слова \mathbf{x} будет иметь вид:

$$Pr(\mathbf{y}|\mathbf{x}) = \prod_{i=1}^n \frac{\exp \frac{-r_i^2}{N_0}}{\sum_{j=1}^8 \exp \frac{-r_j^2}{N_0}} = \prod_{i=1}^n z_i(y_i, x_i) = Z(\mathbf{x}) \quad (10)$$

Декодер максимального правдоподобия позволяет найти наибольшее значение $Z(\mathbf{x})$

Декодер Витерби - это рекурсивный алгоритм, при котором многие кодовые слова могут быть исключены из рассмотрения в процессе максимизации $Z(\mathbf{x})$. Каждому узлу $S_i(k)$ на глубине k поставим в соответствие действительное число $V(S_i(k))$, используя следующее правило:

- 1) Для $k = 0$ зададим $V(S_0(0)) = 0$
- 2) Для каждого узла $S_l(k+1)$ на глубине $k+1$ вид $V(S_l(k+1))$ от $V(S_i(k))$ зададим следующим образом:

$$V(S_l(k+1)) = \max_{\beta_j \in GF(q)} [V(S_i(k)) \times L(x_{k+1}|\beta_j)] \quad (11)$$

где $k = 0, 1, \dots, (n-1)$, $i = 1..q$, $S_l(k+1) = S_i(k) + \beta_j \times h_{k+1}$

- 3) Оставляем только один путь к $V(S_l(k+1))$ от того $S_i(k)$, который дает максимум в формуле выше
- 4) На шаге $k = n$ последовательность из β_j единственного пути от нулевого кортежа на глубине $k = 0$ к нулевому кортежу на глубине $k = n$ даст кодовое слово \mathbf{x} , которое максимизирует $Z(\mathbf{x})$

Таким образом, алгоритму требуется $O(n \times |q|^2)$ времени.

6. BCJR

Рассмотрим q -ный блочный, линейный код (??) и последовательность $\mathbf{y} = [y_1, y_2, \dots, y_n]$ на выходе канала (??). Запишем апостериорные вероятности (APP) символов $x_i \in (0, 1, \dots, q-1)$ используя формулу полной вероятности:

$$p(x_i = x|\mathbf{y}) = \frac{p(x_i = x, \mathbf{y})}{p(\mathbf{y})}$$

Где $p(x_i = x, \mathbf{y})$ есть сумма вероятностей всех кодовых слов, где i -ый символ равен x . Сложность вычислений по формуле пропорциональна числу кодовых слов в коде.

Чтобы упростить вычисления воспользуемся решетчатым представлением кода, для суммирование по кодовым словам мы заменим суммированием по состояниям в узлах решетки (??). Обозначим состояние источника на глубине j за S_j . Для удобства обозначим подпоследовательности \mathbf{y} , как $\mathbf{y}_i^j =$

$(y_i, y_{i+1} \dots y_j)$. Целью декодера является исследование последовательности $\mathbf{y} = \mathbf{y}_1^n$ и оценка APP состояний и переходов цепи т.е. условных вероятностей:

$$Pr(s_{j-1} = m|\mathbf{y}) = \frac{Pr(s_j = m, \mathbf{y})}{p(\mathbf{y})}$$

$$Pr(s_{j-1} = m', s_j = m|\mathbf{y}) = \frac{Pr(s_{j-1} = m', s_j = m, \mathbf{y})}{p(\mathbf{y})}$$

Решетчатая диаграмма показывает нам прогрессию во времени последовательность состояний S_j . Для каждого состояния решетки S_j существует единственный путь на решетке. Обозначим APP перехода как

$$\sigma_j(m', m) = Pr(s_{j-1} = m', s_j = m, \mathbf{y}),$$

а APP состояния как

$$\lambda_j(m) = Pr(s_{j-1} = m, \mathbf{y}).$$

Для принятого вектора \mathbf{y} $Pr(\mathbf{y})$ является константой, которую можно получить из декодера, поэтому для получения искомым APP мы можем нормализовать $\sigma_j(m', m)$ и $\lambda_j(m)$. Условно разобьем событие $(s_{j-1} = m', s_j = m, \mathbf{y})$ на 'прошлое', 'настоящее' и 'будущее'.

$$\sigma_j(m', m) = Pr([s_{j-1} = m', y_1^{j-1}], [s_j = m, y_j], [y_{j+1}^n])$$

По формуле совместной вероятности можно получить:

$$Pr(A, B, C) = Pr(A)Pr(B|A)Pr(C|AB)$$

Введем вспомогательные функции вероятности

$$\alpha_j(m) = Pr(A) = Pr(s_j = m, y_1^j)$$

$$\begin{aligned} \gamma_j(m', m) &= Pr(B|A) = Pr(s_j = m, y_j | s_{j-1} = m', y_1^{j-1}) = \\ &= Pr(s_j = m, y_j | s_{j-1} = m') \end{aligned}$$

$$\beta_j(m) = Pr(C|AB) = Pr(y_{j+1}^n | s_{j-1} = m', s_j = m, y_1^j) = Pr(y_{j+1}^n | s_j = m)$$

Тогда можно записать, что

$$\sigma_j(m', m) = \alpha_{j-1}(m')\gamma_j(m', m)\beta_j(m)$$

$$\lambda_j(m) = \alpha_j(m)\beta_j(m)$$

Теперь наша задача - это получение рекуррентных соотношений для α_j, β_j и γ_j . Запишем формулу полной вероятности для $\alpha_j(m)$ как

$$\begin{aligned} \alpha_j(m) &= \sum_{m'=0}^{M-1} Pr(s_{j-1} = m', s_j = m, y_1^j) = \\ &= \sum_{m'} Pr(s_{j-1} = m', y_1^{j-1}) Pr(s_j = m, y_j | s_{j-1} = m') = \\ &= \sum_{m'} \alpha_{j-1}(m') \gamma_j(m, m') \end{aligned}$$

Среднее равенство вытекает из того факта, что события после глубины $j-1$ не зависят от y_1^{j-1} , если s_{j-1} известно. Для $j=0$ мы имеем граничные условия $\alpha_0(0) = 1$ и $\alpha_0(m) = 0$, при $m \neq 0$.

Аналогично, но двигаясь с другой стороны решетки получим соотношение для β_j

$$\begin{aligned}\beta_j(m) &= \sum_{m'=0}^{M-1} Pr(s_{j+1} = m', y_{j+1}^n | s_j = m) = \\ &= \sum_{m'} Pr(s_{j+1} = m', y_{j+1}, y_{j+2}^n | s_j = m) = \\ &= \sum_{m'} Pr(s_{j+1} = m', y_{j+1} | s_j = m) Pr(y_{j+2}^n | s_{j+1} = m') = \\ &= \sum_{m'} \beta_{j+1}(m') \gamma_{j+1}(m', m)\end{aligned}$$

Граничные условия: $\beta_n(0) = 1$ и $\beta_n(m) = 0$, при $m \neq 0$.

Для применения формул для $\alpha_j(m)$ и $\beta_j(m)$ нужно знать значения $\gamma_j(m', m)$:

$$\gamma_j(m', m) = Pr(s_j = m, y_j | s_{j-1} = m') = p(x_j) p(y_j | x_j)$$

Пусть C - множество всех пар (m', m) , которым соответствует значение x_j , тогда

$$p(x_j | y) = \frac{\sum_{(m', m) \in C} \sigma_j(m', m)}{p(y)}$$

Пользуясь полученным распределением апостериорных вероятностей можно легко найти наиболее вероятное кодовое слово $\mathbf{x} = [x_1, x_2 \dots x_k, x_n]$

7. Моделирование

Моделирование производилось методами имитационного моделирования с использованием среды MatLab для кода (??) длины $n = 7$ над полем $GF(8)$. В качестве канала был выбран канал с аддитивным белым гауссовским шумом (AWGN) и восьмеричной фазовой манипуляцией (8PSK).

Результаты моделирования показывают, что вероятность ошибки на символ у алгоритма BCJR незначительно меньше, чем у алгоритма Витерби.

В свою же очередь вероятность ошибки на символ у алгоритма Витерби заметно ниже, чем у алгоритма BCJR.

Для контраста также предоставлен график вероятности ошибки для демодуляции незакодированного сообщения.

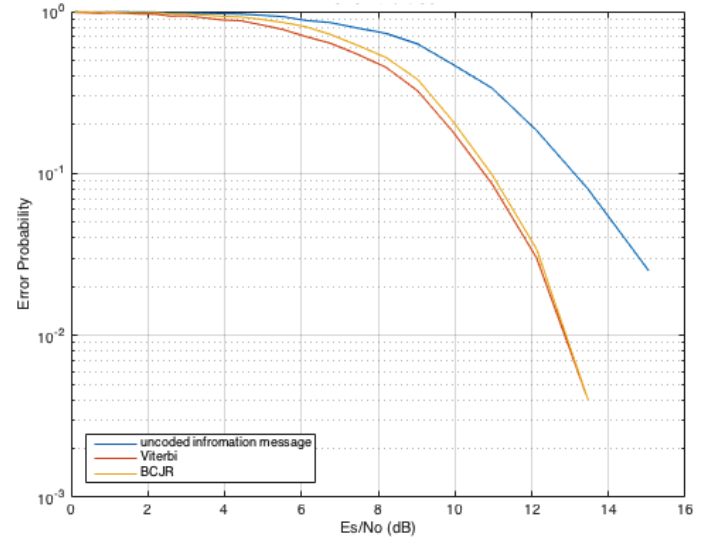


Рис. 3. Зависимость вероятности ошибки на блок от отношения сигнал-шум на кодовый символ

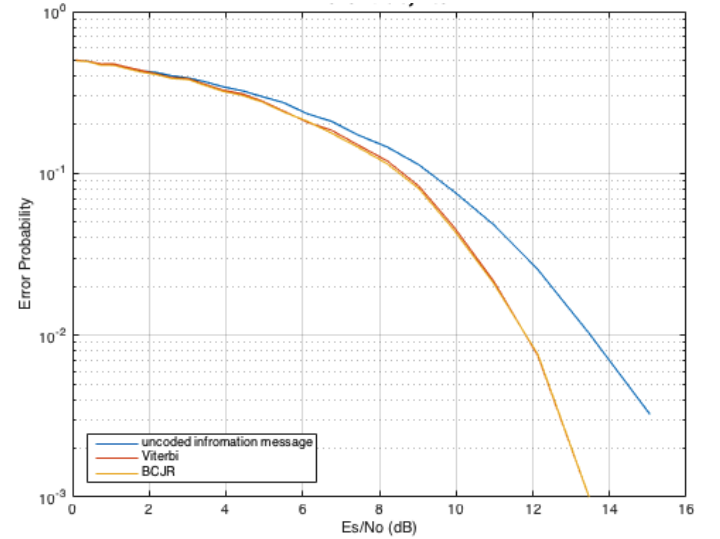


Рис. 4. Зависимость вероятности ошибки на символ от отношения сигнал-шум на кодовый символ

Список литературы

- [1] JACK K. WOLF, Efficient Maximum Likelihood Decoding of Linear Block Codes Using a Trellis, IEEE TRANSACTIONS ON INFORMATION THEORY, VOL. IT-24, NO. 1, JANUARY 1978
- [2] L. R. BAHL, J. COCKE, F. JELINEK, AND J. RAVIV, Optimal Decoding of Linear Codes for Minimizing Symbol Error Rate, IEEE TRANSACTIONS ON INFORMATION THEORY, MARCH 1974
- [3] Б. Д. Кудряшов, Основы Теории Кодирования